ความสัมพันธ์ระหว่างลักษณะสมบัติการไหลผ่านของอากาศ และมิติเศษส่วนของวัสดุเซรามิกรูพรุน



นางศิริกัลยา สุวจิตตานนท์

วิทยานิพนธ์นี้เป็นส่วนหนึ่งของการศึกษาตามหลักสูตรปริญญาวิศวกรรมศาสตรดุษฎีบัณฑิต ภาควิชาวิศวกรรมเคมี บัณฑิตวิทยาลัย จุฬาลงกรณ์มหาวิทยาลัย พ.ศ. 2537 ISBN 974-584-015-7 ลิขสิทธิ์ของบัณฑิตวิทยาลัย จุฬาลงกรณ์มหาวิทยาลัย

RELATIONSHIP BETWEEN AIR FLOW THROUGH AND FRACTAL CHARACTERISTIC OF POROUS CERAMIC MATERIALS

Mrs. Sirikalaya Suvachittanont

A Thesis Submitted in Partial Fulfillment of the Requirements
for the Degree of Doctor of Engineering
Department of Chemical Engineering
Graduate School
Chulalongkorn University
1994
ISBN 974-584-015-7

Thesis Title

Relationship between Air Flow Through and Fractal

Characteristic of Porous Ceramic Materials

By

Mrs. Sirikalaya Suvachittanont

Department

Chemical Engineering

Thesis Advisor

Prof. Dr. Wiwut Tanthapanichakoon

Thesis Co-advisor Prof. Dr. Chikao Kanaoka

Accepted by the Graduate School, Chulalongkorn University in Partial Fulfillment of the Requirements for the Doctoral Degree

The Vojiaskas. Dean of Graduate School (Professor Thavorn Vajrabhaya, Ph.D.)

Thesis Committee

(Prof. Piyasan Praserthdam, Dr.Ing.)

Mout

Janthapanichakoon Thesis Advisor

(Prof. Wiwut Tanthapanichakoon, Ph.D.)

Chikas Kanoka Thesis Co-advisor (Prof. Chikao Kanaoka, Ph.D.)

Toro Hai Vatava Han Member (Terdthai Vatanatham, Ph.D.)

(Asst. Prof. Vichitra Chongvisal, Ph.D.)

Montree Wongsri, D.Sc.)

พิมพ์ตันฉบับบทคัดย่อวิทยานิพนธ์ภายในกรอบสีเขียวนี้เพียงแผ่นเดียว



ศีริกัลยา สุวจิตตานนท์ : ความสัมพันธ์ระหว่างลักษณะสมบัติการใหลผ่านของอากาศและมิติเศษส่วนของ วัสดุเซรามิกรูพรุน (RELATIONSHIP BETWEEN AIR FLOW THROUGH AND FRACTAL CHARACTERISTIC OF POROUS CERAMIC MATERIALS) อ.ที่ปรึกษา : ศ.คร. วิวัฒน์ ตัณฑพานิชกุล อ.ที่ปรึกษาร่วม : ศ.คร. ชิคาโอะ คานาโอกะ, 150 หน้า. ISBN 974-584-015-7

ได้ทำการศึกษาการใหลของอากาศผ่านวัสดุรูพรุนเซรามิกรูปร่างไม่แน่นอน โดยให้อยู่ในช่วงความเร็วเฉลี่ย
อิสระที่ความดันต่ำมาก ได้ทำการทดลองวัดความดันลดที่ใหลผ่านวัสดุรูพรุน เพื่อให้ทราบถึงโครงสร้างภายในของวัสดุ
ในลักษณะสามมิติ วิธีนี้เป็นวิธีใหม่ใช้ในการศึกษาคุณลักษณะของวัสดุรูพรุน ประกอบด้วยการวัดความดันลดและใช้วิธี
ของมิติเศษส่วนด้วย เพื่อคำนวณหาพื้นผิวจำเพาะของวัสดุที่อัตราการใหลของมวลอากาศเดียวกัน แต่ที่ความดัน
สมบูรณ์ของอากาศต่างกัน ผลที่คำนวณได้นำมาวิเคราะห์หาโครงสร้างของรูพรุนโดยใช้หลักการของมิติเศษส่วน
ผลของมิติเศษส่วนที่ได้จากการวัดความดันลดในรูปของสามมิติ นำมาเปรียบเทียบกับมิติเศษส่วนที่ได้จากการวิเคราะห์
ในรูปของสองมิติด้วยการนับจำนวนรูพรุนจากภาพขยาย ผลการทดลองที่ได้จากการวิเคราะห์ด้วยวิธีสามมิตินี้ จะให้
ผลของโครงสร้างที่สลับขับข้อนชัดเจนยิ่งขึ้นโดยอาศัยหลักการของมิติเศษส่วน ค่าความแตกต่างระหว่าง 2 วิธีเป็นผล
อันเนื่องมาจากอากาศนิ่งที่อยู่ตามปลายช่องว่าง การทดลองนี้สามารถนำไปใช้วัดโครงสร้างรูพรุนของวัสดุรูพรุนใดๆได้

น่อกจากนี้ยังได้ศึกษารูปร่างของรูพรุนและคุณสมบัติของวัสดุ MgO Al₂O₃ โดยใช้ TiO₂ และ Al₂O₃ เป็นส่วนประกอบและมีส่วนผสม TiO₂ / Al₂O₃ ในอัตรา 1.0 ที่ส่วนประกอบต่างๆ กัน ผลการทดลองสามารถตรวจพบ Al₂O₃ · TiO₂ ในทุกตัวอย่างที่ส่วนประกอบน้อยกว่า 30 เปอร์เซนต์โดยน้ำหนัก สารละลายแข็งจำพวก MgO · Al₂O₃ · 2MgO TiO₂ และ Al₂O₃ · TiO₃ · MgO· ZTiO₂ · กิดขึ้นในทุกตัวอย่าง ปริมาณสารละลายแข็ง MgO· Al₂O₃ · 2 MgO TiO₂ an ลง และปริมาณสารละลายแข็ง Al₂O₃ · TiO₂ · MgO· ZTiO₂ · เพิ่มขึ้นเมื่อส่วนประกอบเพิ่มขึ้น รอยแตกรอบๆเกิดขึ้นที่เม็ด วัสดุมีเพิ่มขึ้นเมื่อส่วนประกอบเพิ่มขึ้น และมีสารละลายแข็งสองชนิดปรากฏขึ้นที่รอยแตกรอบๆ Aggregates ค่าความ หนาแน่นกลุ่มจะลดลงแต่ค่าความพรุนปรากฏจะเพิ่มขึ้นเมื่อส่วนประกอบเพิ่มขึ้น ค่าแรงดันกดจะมีค่ามากที่สุดที่ส่วน ประกอบ 10 เปอร์เซนต์โดยน้ำหนัก และจะมีค่าน้อยลงเมื่อส่วนประกอบมีปริมาณมากกว่า 10 เปอร์เซนต์ ค่าขนาด รูพรุนเฉลี่ยและค่าความซึมผ่านมีค่าสูงสุดที่ส่วนประกอบ 10-15 เปอร์เซนต์โดยน้ำหนัก และค่าทั้งสองจะลดลงเมื่อส่วน ประกอบเพิ่มขึ้น

รู้ปร่างของรูพรุนแสดงธรรมชาติของมิติเศษส่วน และค่ามิติเศษส่วนของรูพรุนจะลดลงเมื่อส่วนประกอบเพิ่ม ขึ้น จากการทดลองพบว่าค่าความขึ้มผ่านมีค่าสูงสุดที่ค่ามิติเศษส่วนเท่ากับ 1.56 และค่านี้ใกล้เคียงกับวัสดุรูพรุนที่ทำ ด้วยสารแมกนีเชีย นอกจากนี้ ค่ามิติเศษส่วนเพิ่มขึ้นเป็นสัดส่วนกับปริมาณสารละลายแข็ง MgO Al₂O₃-2MgO TiO₂

ภาควิชา	วิศวกรรมเคมี
	วิศวกรรมเคม
สาขาวชา	
di A	2537
ปีการศึกษา.	

ลายมือชื่อนิสิต .	ลีรกัดยา	#p/	g alon H	in si	
	ย์ที่ปรึกษา)0th	מממים	mus	1 0.
	ย์ที่ปรึกษาร่ว		likao	Kas	naok

C316693 CHEMICAL ENGINEERING
##
FRACTAL DIMENSION/POROUS CERAMIC/MOLECULAR FLOW/SPINEL REFRACTORY
KEY WORD:

SIRIKALAYA SUVACHITTANONT: RELATIONSHIP BETWEEN AIR FLOW THROUGH AND FRACTAL DIMENSION CHARACTERISTIC OF POROUS CERAMIC MATERIALS. 150 pp.,

THESIS ADVISOR : Prof. WIWUT TANTHAPANICHAKOON, Ph.D.,

THESIS CO-ADVISOR : Prof. CHIKAO KANAOKA, Ph.D., PKA HO 67 ISBN 974-584-015-7

[\$0\$ | CL:002.

Air flow through irregular porous ceramic materials was experimentally studied in the long mean free path region at low absolute pressure and resulting pressure drop across the porous medium was measured to visualize a three dimensional information of the internal pore structure. A novel method to characterize the structure characteristic of the porous medium has been proposed based on the pressure drop measurement and fractal geometry. It consists of the measurement of pressure drops at the same mass flow rate but at different absolute gas pressure to determine the effective specific surface area of the pores and to evaluate the pore structure via fractal analysis. Then the obtained results were compared with the fractal dimensions obtained from microphotographs and image analysis. The results showed that complex irregular pore structure could be characterized by the fractal dimension and the presence of stagnant air pockets and dead end caves contributed to the discrepancy in fractal dimensions obtained experimentally via pressure drop measurement and visually via microphotos and image analysis. This approach is applicable

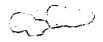
Pore shape and properties of porous MgO.Al₂O₃ refractories containing TiO₂ and Al₂O₃ as matrix with TiO₂/Al₂O₃ molar ratio of 1.0 were studied at different matrix contents. Al₂O₃ · TiO₂ was detected in the specimens for the matrix contents less than 30% by weight. Both MgO·Al₂O₃-2MgO·TiO₂ and Al₂O₃·TiO₃ - MgO·2TiO₂ solid solutions were shown in all specimens. The amount of MgO·Al₂O₃-2MgO·TiO₂ solid solution decreased and Al₂O₃·TiO₂-MgO·2TiO₂ solid solution increased as the matrix contents increased. Boundary cracks in the aggregates increased as the matrix content increased, and both of the above solid solutions were observed in the boundary cracks. Bulk density decreased and apparent porosity increased as the matrix contents increased. Compressive strength showed a maximum at a matrix content of 10 wt. % and then became lower at matrix contents above 10 wt. %. Both mean pore size and permeability showed a peak at about 10-15 wt. %

matrix contents.

The shape of the pores was shown to have fractal nature and the fractal dimensions of the pores decreased as the matrix contents increased. It was found that the permeability showed a maximum at a fractal dimension of 1.56 and the value agreed well with that of a magnesia refractory. Furthermore, the fractal dimension increased in proportion to the amount of MgO·Al₂O₃ - 2MgO·TiO₂ solid solution.

ภาควิชา ลายมือชื่อนิสิต ดิวิภิค ศากรรมเคมี สาขาวิชา ลายมือชื่ออาจารย์ที่ปรึกษา เมื่อนี้ อามารณน์ เมื่อง ปีการศึกษา 2537 ลายมือชื่ออาจารย์ที่ปรึกษาร่วม ไม่ kao Kanaok





ACKNOWLEDGMENT

The author wishes to convey her heartfelt appreciation and gratitude to her advisor Prof. Dr. Wiwut Tanthapanichakoon and her coadvisor Prof. Dr. Chikao Kanaoka for the invaluable advice, guidance and constant encouragement they have rendered in the course of this study.

She expresses her most sincere thanks to Dr. Akihiro Tsuchinari, manager of Harima Ceramic Company for preparing and testing the ceramic specimens. Thanks are also extended to Dr. Masami Furuuchi for his kind assistance in the construction of the experimental apparatus and for his suggestion on how to operate image analyzer.

Special thanks are to Prof. Dr. Piyasan Praserthdam, Dr. Terdthai Vatanatham, Asst. Prof. Dr. Vichitra Chongvisal and Dr. Montree Wongsri who serve as committee members.

The author also thanks Faculty of Engineering, Kasetsart University for providing financial support on her first trip to conduct the research work at Kanazawa University.

Special thanks are due to Mrs. Ampar Doungsong for her manuscript typing and Mr. Somjate Sutthawireesan for his kind advice on microsoft-word program.

Lastly, grateful thanks are due to Mr. Suvich Suvachittanont, her husband, for being a constant companion in need and arousing enthusiasm during the research work and for being her big sponsor on her second trip to summarize her research work in Japan.



CONTENTS

	F
ABSTRACT IN THAI	
ABSTRACT IN ENGLISH	
ACKNOWLEDGMENT	
LIST OF TABLES	
LIST OF FIGURES	
CHAPTER	
1. INTRODUCTION	
GENERAL	
PURPOSES OF RESEARCH STUDY	•
MATERIALS STUDIED	
2. LITERATURE REVIEW	
AIR FLOW THROUGH POROUS MEDIA	
1. Flow of Gas at Low Density Through a Packed Bed	
2. Analysis of Flow of Rarefied Gases Through	
Packed Beds by Monte Carlo Method	
3. Flow of a Rarefied Gas With Thermal Creep in a	
Circular Tube	
CHEMICAL AND PHYSICAL PROPERTIES OF	
POROUS CERAMIC REFRACTORY	
1. Effects of Al ₂ O ₃ -TiO ₂ Contents on the Structure	
and Permeability of Porous Magnesia Ceramic	
2. Influence of Grain Size and Firing Temperature on	
the Structure of Porous Magnesia Ceramic	
3. Effect of Addition of Titania and Alumina Powders	
into Permeable Magnesia Ceramic	
4. Effect of MgO Addition on the Properties of	
Porous Al ₂ O ₃ Refractory Containing TiO ₂ And	
Al2O3 in the Matrix	

		Page
	5. Solid Solution in the MgO Excess Region of the	
	System Mgo·TiO ₂ ·Al ₂ O ₃	. 8
	6. Permeable Ceramics Utilizing Spherical	
	Particles	10
	7. Corrosion Resistance of Permeable Refractory	10
	8. Porous Plug Made of Spherical Particles for	
	Bubbling from the Bottom of the Ladle	10
	9. Application Results of Al ₂ O ₃ Porous Plug	
	Containing TiO ₂ ·Al ₂ O ₃ and MgO as Matrix in	
	Actual Operation	11
		•
3.	THEORY	12
	,	
	STEEL MAKING PROCESS	12
	APPLICATION OF POROUS CERAMIC	
	REFRACTORY	14
	KOZENY-CARMAN THEORY	16
	KNUDSEN NUMBER	23
	SPECIFIC SURFACE AREA OF PARTICLES	24
	CALCULATED PRESSURE DROP PER UNIT	2.5
	LENGTH	25
	MEAN FREE PATH	29
	PORE DIAMETER AND PERMEABILITY	31
	FRACTAL GEOMETRY	31
	1. General Background	31
	2. Fractal Analysis of Pore Shape	. 35
	IMAGE ANALYSIS	37
	1. Overview and History	37
	2. Basic Concepts of Image Analysis Processing	37
	3. Color Images	38
	4. Benefit of Image Analysis	39
	5. Advantages of Image Analysis	40
	6. Field Specific of Measurements	41
		11

	Page
4. EXPERIMENTAL PROCEDURE	44
EXPERIMENTAL APPARATUS FOR MEASURING	
PORE STRUCTURE THROUGH PRESSURE	
MEASUREMENT	44
1. Three-Dimensional Approach	44
2. Two-Dimensional Approach	45
ANALYTICAL INSTRUMENTS USED TO STUDY	
THE EFFECT OF MATRIX CONTENTS ON THE	
PHYSICAL PROPERTIES AND PORE STRUCTURE	c 1
OF SPINEL REFRACTORIES	51
SPECIMEN PREPARATION	52
1. Specimen Preparation for Pore Structure	50
Measurement	52
2. Specimen Preparation for Studying the Effect of	
Matrix Contents on the Physical Properties and	
Pore Structure of Spinel Refractories	56
5. RESULTS AND DISCUSSION	60
EFFECT OF PORE STRUCTURE ON FLOW CHARACTERISTICS THROUGH PRESSURE	
MEASUREMENT	60
1. Relationship Between Pressure Drop per Unit	
Length, Air Flow Rate, Mean Free Path and	
Absolute Pressure	60
	00
2. Relationship Between Specific Surface Area of Particles, Air Flow Rate and Mean Free Path	75
· · · · · · · · · · · · · · · · · · ·	75
3. Relationship of Physical Properties and Fractal	88
Dimension	00
4. Comparison of Two- and Three-Dimensional	89
Fractal Dimensions	0)
5. Comparison of Two-Dimensional Pore Area by	
Image Analysis and Three-Dimensional Pore Area	00
by Pressure Drop	90
EFFECT OF MATRIX CONTENT ON THE PHYSICAL PROPERTIES AND PORE STRUCTURE	
OF POROUS SPINEL REFRACTORIES	91
1 Micro-Structure Observation of Sintered Body	91

	00
•	Page
2. EPMA and X-ray Diffraction	93
3. Bulk Density and Apparent Porosity	
4. Compressive Strength of Specimens	
5. Pore Size Distribution and Permeability	
6. Fractal Analysis of Pore	
7. Comparison of Physical Properties of	
MgO·Al ₂ O ₃ Refractory with MgO Refractory	102
6. CONCLUSIONS AND FURTHER STUDY	106
PORE STRUCTURE AND AIR FLOW	
CHARACTERISTICS	106
EFFECT OF MATRIX CONTENT ON THE PHYSICAL PROPERTIES AND PORE STRUCTURE	
OF SPINEL REFRACTORIES	107
FUTURE STUDY	400
NOMENCLATURE	109
APPENDIX 1	and the same of th
APPENDIX 2	100
REFERENCES	
VITA	1/0

LIST OF TABLES

•		Page
Table 3.1	The Process of Steel Making	12
Table 3.2	A Wide Range of Shapes of Cast Steel	14
Table 3.3	Scaling Law for Fractional Dimension	34
Table 3.4	Basic Image Processing and Analysis	39
Table 4.1	Number of Segments N(r) to Required Cover	
	the Pores and the Fractal Dimension of Each	
	Specimen	50
Table 4.2	Two-Dimensional Porosity Obtained from	
	Image Analysis	51
Table 4.3	Chemical Composition of the Aggregate and	
	Matrix Used for Pore Structure	
	Measurements	53
Table 4.4	Manufacturing Process for Porous Ceramics	
	Refractories	54
Table 4.5	Physical Properties of Each Specimen Used	
	for Pore Structure Measurement	55
Table 4.6	Chemical Composition of Aggregate and	
	Matrix Used for Studing the Effect of Matrix	
	Contents	57
Table 4.7	Weight Fraction of Aggregate and Matrix	58
Table 4.8	Manufacturing Process for Porous Spinel	
	Refractories	58
Table 4.9	Physical Properties of Aggregate and Matrix	
	Used for Studying the Effect of Matrix	
	Contents	59
Table 5.1	Pressure Drop per Unit Length vs. Absolute	
	Pressure for Specimens A, B and C	66
Table 5.2	Pressure Drop per Unit Length vs. Absolute	
	Pressure for Specimens D and E	67
Table 5.3	Pressure Drop per Unit Length vs. Absolute	
	Pressure for Specimens F and G	68
Table 5.4	Pressure Drop per Unit Length vs. Mass	
	Flow Rate for Specimens A. B. C. and D.	73

144

		Page
Table 5.5	Pressure Drop per Unit Length vs. Mass	
	Flow Rate for Specimens E, F and G	74
Table 5.6	Specific Surface Area of Particles vs. Mean	
	Free Path for Specimens A, B, C and D	84
Table 5.7	Specific Surface Area of Particles vs. Mean	
	Free Path for Specimens E, F and G	85
Table 5.8	Calculated Value of Knudsen Number for	
	Each Specimen	87
Table 5.9	Relationship of Physical Properties and	•
	Fractal Dimensions Obtained from Counting	
	and Measurement	88
Table 5.10	Comparison of Image Pore Area and	•
	Experimental Pore Area	91
Table 5.11	Results of the X-ray Diffraction Analysis	94
	Viscosity of Air	122
Table A2-1	Sample of Calculation of Calculated Pressure	
	Drop per Unit Length for Specimen A	133
Table A2-2	Sample of Calculation of Specific Surface	
	Area of Particles for Specimen A	140
Table A2-3	Sample of Calculation of Mean Free Path of	

Specimen A

LIST OF FIGURES

		Page
Figure 3.1	Cross Section of the Refractory Part of	
	Tundish	15
Figure 3.2	Ladle Assembly with Porous Plug	15
Figure 3.3	Models of Porous Medium	17
Figure 3.4	Relation between Equivalent Channel Length	•
Ü	and Bed Thickness	19
Figure 3.5	Flow Characteristics	26
Figure 3.6	Pressure Drop in Free Molecular Flow	26
Figure 3.7	Topological, Fractal, and Euclidean	
J	Dimensions of Rugged Lines	33
Figure 3.8	Measurement of Fractal Dimension	36
Figure 3.9	Sample of Fractal Dimension Plotting	36
Figure 3.10	Field Specific Measurement	41
Figure 3.11	System MgO-Al ₂ O ₃ -TiO ₂ ; Primary Phases	
	(Cross Hatched Lines are Solid Solution)	43
Figure 4.1	Diagram of Experimental Apparatus	45
Figure 4.2	Photomicrographs of Specimens A and B	46
Figure 4.3	Photomicrographs of Specimens C and D	47
Figure 4.4	Photomicrographs of Specimens E, F and G	48
Figure 4.5	Number of Segments N (r) Required to Cover	
C	the Pores vs. Similarity Ratio r	49
Figure 5.1	Pressure Drop per Unit Length vs. Absolute	9
	Pressure for Specimens A and B	62
Figure 5.2	Pressure Drop per Unit Length vs. Absolute	
J	Pressure for Specimens C and D	63
Figure 5.3	Pressure Drop per Unit Length vs. Absolute	
J	Pressure Specimens E and F	64
Figure 5.4	Pressure Drop per Unit Length vs. Absolute	
J	Pressure Specimen G	65
Figure 5.5	Pressure Drop per Unit Length vs. Mass	
-	Flow Rate for Specimens A and B	69
Figure 5.6	Pressure Drop per Unit Length vs. Mass	
U	Flow Rate for Specimens C and D	70

	- S
1	7,
 - D.	-4
 _	

Figure 5.8 Pressure Drop per Unit Length vs. Mass Flow Rate for Specimen G			Page
Flow Rate for Specimens E and F	Figure 5.7	Pressure Drop per Unit Length vs. Mass	_
Figure 5.8 Pressure Drop per Unit Length vs. Mass Flow Rate for Specimen G	J		71
Flow Rate for Specimen G	Figure 5.8		
Figure 5.9 Specific Surface Area of Particles vs. Mass Flow Rate for Specimens A and B			. 72
Flow Rate for Specimens A and B	Figure 5.9		
Figure 5.10 Specific Surface Area of Particles vs. Mass Flow Rate for Specimens C and D	J		76
Flow Rate for Specimens C and D	Figure 5.10		
Figure 5.11 Specific Surface Area of Particles vs. Mass Flow Rate for Specimens E and F	J	-	77
Flow Rate for Specimens E and F	Figure 5.11		
Figure 5.12 Specific Surface Area of Particles vs. Mass Flow Rate for Specimen G			78
Flow Rate for Specimen G	Figure 5.12		
Figure 5.13 Specific Surface Area of Particles vs. Mean Free Path for Specimens A and B		<u>-</u>	79
Free Path for Specimens A and B	Figure 5.13	<u> </u>	
Figure 5.14 Specific Surface Area of Particles vs. Mean Free Path for Specimens C and D	2.80		80
Free Path for Specimens C and D	Figure 5.14		
Figure 5.15 Specific Surface Area of Particles vs. Mean Free Path for Specimens E and F		_	81
Free Path for Specimens E and F Figure 5.16 Specific Surface Area of Particles vs. Mean Free Path for Specimen G Stringure 5.17 Effective Flow Area Frigure 5.18 Permeability vs. Fractal Dimension Frigure 5.19 Photomicrographs of Some Typical Specimens Specimens Frigure 5.20 EPMA Analysis of Specimens Frigure 5.21 Change of Bulk Density and Apparent Porosity against Matrix Content Porosity against Matrix Content Frigure 5.22 Relation between Compressive Strength and Matrix Content Matrix Content Frigure 5.23 Influence of Matrix Content on Mean Pore Size and Permeability Frigure 5.24 Influence of Apparent Porosity (Po) and	Figure 5.15		
Figure 5.16 Specific Surface Area of Particles vs. Mean Free Path for Specimen G		<u>-</u>	82
Free Path for Specimen G	Figure 5.16		
Figure 5.17 Effective Flow Area		<u>-</u>	83
Figure 5.18 Permeability vs. Fractal Dimension 89 Figure 5.19 Photomicrographs of Some Typical Specimens 92 Figure 5.20 EPMA Analysis of Specimens 95 Figure 5.21 Change of Bulk Density and Apparent Porosity against Matrix Content 97 Figure 5.22 Relation between Compressive Strength and Matrix Content 97 Figure 5.23 Influence of Matrix Content on Mean Pore Size and Permeability 98 Figure 5.24 Influence of Apparent Porosity (Po) and	Figure 5.17		87
Figure 5.19 Photomicrographs of Some Typical Specimens			89
Figure 5.20 EPMA Analysis of Specimens 95 Figure 5.21 Change of Bulk Density and Apparent Porosity against Matrix Content 97 Figure 5.22 Relation between Compressive Strength and Matrix Content 97 Figure 5.23 Influence of Matrix Content on Mean Pore Size and Permeability 98 Figure 5.24 Influence of Apparent Porosity (Po) and			
Figure 5.20 EPMA Analysis of Specimens 95 Figure 5.21 Change of Bulk Density and Apparent Porosity against Matrix Content 97 Figure 5.22 Relation between Compressive Strength and Matrix Content 97 Figure 5.23 Influence of Matrix Content on Mean Pore Size and Permeability 98 Figure 5.24 Influence of Apparent Porosity (Po) and	-8		92
Figure 5.21 Change of Bulk Density and Apparent Porosity against Matrix Content	Figure 5.20	•	95
Porosity against Matrix Content 97 Figure 5.22 Relation between Compressive Strength and Matrix Content 97 Figure 5.23 Influence of Matrix Content on Mean Pore Size and Permeability 98 Figure 5.24 Influence of Apparent Porosity (Po) and	_		
Figure 5.22 Relation between Compressive Strength and Matrix Content			97
Figure 5.23 Influence of Matrix Content on Mean Pore Size and Permeability	Figure 5.22		
Figure 5.23 Influence of Matrix Content on Mean Pore Size and Permeability	118		97
Size and Permeability	Figure 5.23		
Figure 5.24 Influence of Apparent Porosity (P _O) and	116410 0.20	Size and Permeability	98
Many Dans Size (d) on Dormoshility (K)	Figure 5 24		
Mean Pore Size (d) on Fernicaulity (N)	115410 3.2	Mean Pore Size (d) on Permeability (K)	100
Figure 5.25 Number of Segments N(r) to Cover the Shape	Figure 5.25		
of Pores	1 1644 0 0.20		101
Figure 5.26 Relation between Fractal Dimension and	Figure 5 26		-
Matrix Content	1 15ut 0 0.20	Matrix Content	103

		Page
Figure 5.27	Influence of Fractal Dimension on	٠
	Permeability	104
Figure 5.28	Relation between Fractal Dimension and	
_	Count per Second of X-ray Intensity for	
	MgO·Al ₂ O ₃ -2MgO·TiO ₂ s.s	105
Figure A1-1	Example of Test Piece Holder	117
Figure A1-2	Example of Arrangement of Gas Permeability	
_	Rate Measuring Devices (Extrusion Type)	119
Figure A1-3	Example of Arrangement of Gas Permeability	
	Rate Measuring Devices (Suction Type)	119
Figure A1-4	Dimensions of Crucible and Cutting Method	
•	of Sample after Testing	125
Figure A1-5	Example of Marking of Result after Testing	125
Figure A1-6	Pore Sizer 9320 System	128
Figure A1-7	Cumulative Pore Volumes vs. Calculated	
J	Pore Diameters	130